

NaAlO_2
(в др. алюминат)

Naz. Boz
Naz. Alloz

Mixter W. G., BP-X-1843 1908
Journ. U. S. Sci., 1908, 26, 125

Tenuosa pseudos. Leptothrix
Bacillus c. bacillo. Nodules
Tenuosa variegata Xyzina

Allozus.

Pegrenas деревни XI, 8.

IX 1915

1932

$5\text{CaO} \cdot 3\text{Al}_2\text{O}_3$; $8\text{CaO} \cdot \text{Na}_2\text{O} \cdot 3\text{Al}_2\text{O}_3$;
 $3\text{CaO} \cdot 5\text{Al}_2\text{O}_3$; $\text{Na}_2\text{O} \cdot \text{Al}_2\text{O}_3$; $3\text{CaO} \cdot 2\text{Na}_2\text{O}$.
 $5\text{Al}_2\text{O}_3$) (Tm)

Brownmiller L.T., Bagul R.H.,

Amer. J. Sci., 1932, 23, 501-24

5

C.A., 1932, 4233

V 3720

1942

Al_2O_5 (H_{aq}, ΔH), $\text{Al}(\text{OH})_3$ (ΔH),

$\text{Al}_2(\text{SO}_4)_3$ (ΔH), NaAlO_2 (ΔH)

Tokonari T.

J. Soc. Chem. Ind. Japan, 1942, 45, 669-670,

~~1942-1943~~

Physical chemistry of solutions of sodium aluminate. I. The equilibrium constant of hydrolysis. II. Solubility, heat of solution, etc.

EE&G φ.K

CA., 1949, 2077cd

F

W, M, Ja

V-3720a

1946

NaAlO₂, Al(OH)₃, Al₂(SO₄)₃ (OH)
Al₂O₃ (OH, OHg)

Tomonari T.

J. Chem. Soc. Japan, Indust. Chem. Sec.,

1944, 47, 28-30

M, B

1051

1951

NaAlO₂; Na₃AlO₃ (A. Hag),

Calvet E., Boivinet P., Thibon H.,
Maillard A.

Bull. Soc. chim. France, 1951,
402-416

Microcalometric study of the decompo-
sition of ...

ee16 Q K
CA, 1952, 46, N2, 328d

W

Keller.

1955

Nat₂O₂

King E. G.

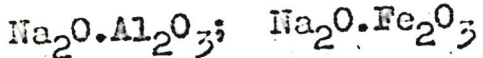
J. Amer. Chem. Soc., 1955, 77, N° 12,
3189 - 3190.

CPL 298

Немногим выше температуры плавления перхлората натрия в открытом атмосфере при 298,16°К аддукт окиси натрия и оксид перхлората натрия не реагирует.

X-56-13-38950.

970



(Ttr)

1957

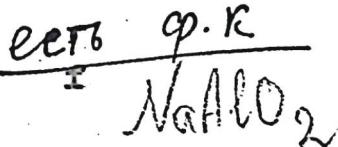
Аракеевы О. И.

В сб.: Легкие чугуны, З. Н., 1957,
54-60

Исследование фазового состава про-
дуктов спекания в низкозернистой
группе водянике.

Be

PM, 1958, 20472



V 3566 - BP; BP - 3344 - I. 1957

NaAlO₂, LiAlO₂, Al, NaCl, LiCl (H, Hf)

Coughlin J.P.

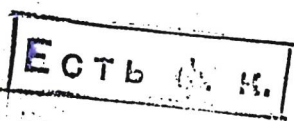
J.Amer.Chem.Soc.1957, 79, N10, 2397-2399

Heat of formation of crystalline
aluminates of sodium and lithium

WPK, W

F

Ex., 1958, 351



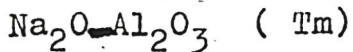
Кофелей

- 1957

Na HCO_3	Coughlin James P. J. Amer. Chem. Soc. 1957 pp. 2394 - 2399.
1 XI - 3347	Бесцветные отставающие кристаллические частицы камб кальция и магния
89	89. (Na HCO_3) = - 270,84 ± 0,17 миллеква

X-58-1-351

Na₂O₂ 055 Описание, в работе 1958
и работе



T-ра эвтекции.

Кожевников Г.Н., Кусакин Н.С.

Изв. Сибирск. отд. АН СССР,
1958, № 7, ТЗ-22

Диаграмма состояния системы ...

и

Bp - 1055-X1

Be

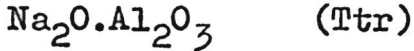
px., 1959, 14570



F

1054 — X

1959



Белецкий М.С., Саксонов Ю.Г.

Ж.неорган.химии, 1959, № 5,
972-974

Рентгенографическое исследование
полиморфного превращения алюмината
натрия.

Be

F

РХ, 1959, 73968

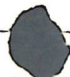
BP - 8 - 3419; V - 3843

1959

NaAlD₂, Na₃AlF₆, NaF, Al₂O₃
(Cp, H_T-H₀, SS, SZ)

Иванова А.Н.,

Узб. биенж. ур. заб. Узбекистан мега-
курсив, 1959, №1, 67 - 73.



Б.Н

лес ф.к.

V - 3617

1960

Na, NaF, Na_3AlF_6 , NaAlO₂, AlF,
AlN, Al, Al_2O_3 (ΔH_f ; S, H_r-H_t)

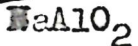
Юдин Б.Б.,

Тр. Ленингр. Технол. ин-та им.
Ленсовета, 1960, Вып. 61, 9-20.

М, В, Б, К

есть о.к

1052



(Ttr)

1969

Thery J., Lejus A.M., Briançon D.,
Collongues R.
Bull. Soc. chim. France, 1961,
N 5, 973-75

Sur la structure et les propriétés
des aluminates alcalins.

Be

orig.

PK, 1962, 95186



1961

Bp-1053-X

NaAlO₂ (Ttr)

Théry J., Briançon D., Collingues R.,

C.r.Acad.sci., 1961, 252,
N 10, 1475-77

Sur la structure ...

F



Be

PX., 1961, 21B155

BP-L-8614

11/961

Надзор

№ 3.8876

(14c, S)

Огур Б.З.

Тр. Ненецкого Тех. ин-та
исп. Генсовета

1960, том 61, 9-го

1962

X373a - 37

NaF, AlF₃, Na₂AlF₆? NaAlO₂; (Кр, Δ Hf)

Машовец В.П., Новикова Н.А.

Изв. ВУЗов. Цветн,металлургия, 1962,
№ 2, 78-80

О химической устойчивости расплавленного...
M, Be orig.

РХ, 1963, бб379

1963

NaAlO₂

Cryogenic

Al₂O₃-NaAlO₂

Phase diagrams of nonreactive mixtures with molybdenum.
I. Apparatus for freezing point curves up to 2100°C. Maurice
Rolin and Pham Huu Thanh (Nat. Inst. Appl. Sci., Villeur-
banne). *Bull. Soc. Chim. France* 1963(5), 1030-5. A f.p.
app. is described for liquid oxides. A first approxn. of the binary
diagram is given for the Al₂O₃-NaAlO₂ system; the temp. was
measured with a W-WRe thermocouple. Charles M. Mason

C.A. 1963 59.11

122329

IX - 3936

1965

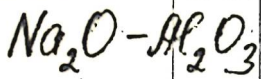
NaAlO₃, NaFeO₂, Na₂Al₂O₃ · 2SiO₂ + sp.
(ср, отл.)

Ариков Б.И.,

Исследование в области химии
силикатов и окислов. Сб. статей,
М., Изд-во АН ССР, 1965, 198-203

CA, 1966, 65, n 4, 4733e

И.Б еето ак



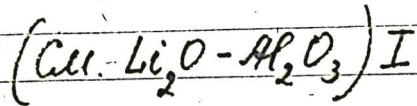
Collongues R. et gp.

1965

Bull. Soc. franc. céram.,
N66, 103

одзор

Ферритическое и антрацититовое
вещества с кальцием.



1965

Na He O₂ (rp.) JANAF

m.g.

100 - 3000°K

1965

Heat capacity of sodium aluminate solutions at 25–90°. G. Z. Mal'tsev and V. P. Mashovets (Lensovet Technol. Inst., Leningrad). *Zh. Prikl. Khim.* 38(1), 92–9(1965)(Russ). The sp. heat, C_p , of NaOH and NaAlO₂ solns. was detd. at 25–90°; the modulus $\alpha = \text{Na}_2\text{O} : \text{Al}_2\text{O}_3$ changed from ∞ to 3.47 and the concn. of Na₂O varied from 6.75 to 39.42%. The exptl. results were expressed by the empirical relation $C_p = a + b\rho_{\text{Na}_2\text{O}} + C\rho^2_{\text{Na}_2\text{O}} + d\rho_{\text{Al}_2\text{O}_3} + e\rho_{\text{Na}_2\text{O}} \cdot \rho_{\text{Al}_2\text{O}_3} + f\rho^2_{\text{Na}_2\text{O}} \cdot \rho_{\text{Al}_2\text{O}_3}$, where $\rho_{\text{Na}_2\text{O}}$ and $\rho_{\text{Al}_2\text{O}_3}$ are the content of Na₂O and Al₂O₃ in wt. % and a, b, c, d, e , and f are consts., the values of which were tabulated. The deviation from additivity $K = (C_p(\text{expt}) - C_p(\text{addit})) / C_p(\text{addit})$ was neg. in dil. solns. and pos. in concd. solns. The neg. K was ascribed to the destruction of the H₂O structure and to hydration. Pos. K was ascribed to the formation of ion pairs in NaOH solns. and polymeric structures in NaOH + Al₂O₃ solns. The polymeric structure and the H bonds were destroyed at 75°. This accounted for the fact that at 75–90° C_p changed slightly with the temp.

GBJR

C.A. 1965 • 62 • 12
13939

$\text{Na}_2\text{O} \cdot \text{Fe}_2\text{O}_3$; $\text{Na}_2\text{O} \cdot \text{SiO}_2$, $\text{Na}_2\text{O} \cdot \text{Al}_2\text{O}_3 \cdot 2\text{SiO}_2$, №3/1963

$\text{Na}_2\text{O} \cdot \text{CaO} \cdot \text{SiO}_2$, $\text{Na}_2\text{Al}_2\text{O}_5$, $\text{K}_2\text{O} \cdot \text{Al}_2\text{O}_3$ (ΔH_f , C_p)

Примок Б.И.

У-6146

ЖН. прикладн. химии, 1968, 4, N4, 783-787

Определение темпом обработки
редо-составных методом количественного
термокалориметрии

РГУКИМ 1969
15842

М.Б (Р)
если орис.

1968

AlO₂ NaK_pnegative

64705b Aqueous sodium aluminate solutions. Bagaev, A. S. *Tsvet. Metal.* 1968, 41(2), 56-9 (Russ). Some thermal properties of Na aluminate solns., useful in heat balance calens., were studied. Curves are given showing the product ($d_{20} \times$ sp. heat at 90°) in the range 1.03-1.18 as a function of the Na₂O concn. (100-420 g./l.). The equil. consts. of the reaction AlOOH + OH⁻ ⇌ AlO₂⁻ + H₂O at 200, 250, and 300° were detd., as well as the heat of soln. of diaspose at 200-50° and 250-300°. The av. heat of soln. was -7800 cal./mole AlOOH or -153 kcal./kg. Al₂O₃. Curves are given showing the dependence of the sp. differential heat of dilution of Na aluminate solns. (Na₂O/Al₂O₃ ratio = 3.48) on the Na₂O concn. (120-340 g./l.) at 100-340°.

E. M. Elkin

C.A. 1968 . 69 . 14

NaAlO₂, LiMnS₂(T_{dr}) 1968

Rooymans C.J.M.

~~Reviews~~
A-2008

Philips Res. Rep. Suppl., 1968, No 5, 135 pp

Structural investigations in some
oxides and other chalcogenides at
normal and very high pressures.

B 5 ⑨

CA, 1969, 70, N8, 32267

1968

NaAlO₂T_c?

18 Б472. Фаза высокого давления NaAlO₂, изотип-
ная с α -NaFeO₂. Reid A. F., Ringwood A. E.
High-pressure NaAlO₂, an α -NaFeO₂ isotype. «Inorgan.-
Chem.», 1968, 7, № 3, 443—445 (англ.)

Проведено рентгенографич. исследование (метод по-
рошка) фазы высокого давления α -NaAlO₂, получаемой
из β -формы при 110 кбар и 900°. Установлено, что но-
вая фаза изоструктурна с α -NaFeO₂ и α -LiGaO₂. Пара-
метры гексагон. решетки: a 2,868, c 15,88 Å, $Z=3$, ф. гр.

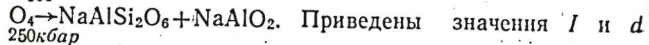
$P\bar{3}m$. Координаты атомов уточнены методом наименьших
квадратов по порошковым данным. Установлено, что
при фазовом переходе $\beta \rightarrow \alpha$ плотность повышается от

x·1968·

18

2,74 до 3,61, а тетраэдрич. координация всех атомов металла (искаженная структура типа вюртцита) меняется на октаэдрической (ромбоэдрически искаженный тип NaCl). Атомы Na и Al упорядочены и располагаются слоями, нормальными к оси *c*. Слои из связанных по ребру AlO₆-октаэдров отделены друг от друга атомами Na. Показано, что изученная α -форма совместно с минералом жадеитом, является продуктом диссоциации нефелина под влиянием высокого давления: 2NaAlSi-

900°



250кбар

рентгенограммы порошка.

Н. Г. Шумяцкая

NaAllO₂ (Tl) 10 5420 1019

Бандаи Н.Ф., Митин А., Поколев В.Н.

Tr. Ур. Мез. Обозр., № 12, 1969, 35, 869

(Рус.)

Морфологич. картина речных отложений
внутри Амурской низменности в
глубинах 0-10 м.

6 б ~~600000~~ ~~600000~~ 600000
~~600000~~ 600000 600000

NaAlO_2
(crystal) JANAF
100-3000°K II aggregate
(1963)

1971

Перхлораты, цианробораты, 10
цианробораты di, Na, K, Rb, Cs
1971
Рудников В.А., Денисова Т.И.
A - 1738

Уч. Акад. Нauk CCCP, Сер. хим.,
1971, № 2, 260-4 (русск.) 25

$\text{NaAlO}_2 \cdot \text{H}_2\text{O}$

Ест.

Изучение структурных
и механических и электрических
свойств образовавшие некото-
рых кристаллов из перхлоратов
и боратов калия

М.В. (авт. оригинал) СА, 1971, № 412536

LiHCO_3 (6) ($\Delta H_{\text{f}298}$) 10 1974
 NaHCO_3 (6) 85431

Романов Д.С., Семенов Т.А.;
Док. Физ. Кум. 1971, 45(2), 476-7.

Массспектрометрическое изучение
испаряющего алюминия при и
нафтите 75  CA, 1971, 45(22) 116122V

30828.6115

Ch, Ph, TE

NaAlO₂

1972

У-1563

34473

Kanungo S.B.

БР-Х-7833

Thermodynamics of the formation of

Na₂SiO₃, NaAlO₂, Na₂Fe₂O₄ and Na₃PO₄ at
higher temperatures.

"Indian J.Technol.", 1972, 10, N12, 443-
446 (англ.)

0950

ст. 14. Галактическая

934 934 0948

ВИНИТИ

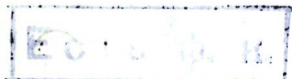
$\text{Na}_2\text{O} \cdot \text{Al}_2\text{O}_3$ (Кемад., мерног. об-ва) 1972

Kummer J.T., № 8068 10.6 кг.

Progr. Solid State Chem., 1972, 7,
141-75 (анн.)

β -Alumina electrolytes.

M, B (P)



CA, 1973, 79, N14, 841359

NaFeO₂; NaAlO₂; KAlO₂(stilson) 1972
7746

Западн. Р. А., Ауканчы Г., Тогузу М.Е.,
эф. пром. зем., (Четемирас),
1372, 45, N10, 2322-4 (рек.)

Состава минералов распред.
рас: Na₂O·Al₂O₃ — Na₂O·Fe₂O₃.

и ?

①

?

07/1973, 28, N10, 63/198

NaAlO_2

1973

Bardin S; et al.

V. I; p. 548.

298 - 1900 (m)

Oct. 1973

NaAlO_2

NaFeO_2

(T_{t2})

22 Б939. Полиморфизм NaAlO_2 и NaFeO_2 .
West A. R. NaAlO_2 and NaFeO_2 polymorphism. «Natu-

1974

Рассмотрены структурные превращения в изоструктурных смешанных окислах NaAlO_2 (I) и NaFeO_2 (II) при полиморфных превращениях $\alpha \rightleftharpoons \beta \rightleftharpoons \gamma$ для I при 760 и 1010° соотв. и $\alpha \rightleftharpoons \beta$ для II при 470°. α -форма I получена при высоком давл. и имеет упорядоченную структуру NaCl , а катионы и анионы (O^{2-}) в структуре β - и γ -модификаций имеют тетраэдрич. координацию. β -модификации I и II имеют основную структуру вюрцита с упорядоченным расположением катионов в тетраэдрич. позициях, что вызывает понижение гексагон. симметрии вюрцита ($P6_3mc$) до ромбич. симметрии $Pbn2_1$ (в случае II). γ -модификации I и II имеют тетрагон. структуру типа $\gamma\text{-LiAlO}_2$ ($P4_12_12$). Переход $\beta \rightarrow \gamma$ в I и II обусловлен смещением катионов из 1/3 или 5/6 упорядоченных тетраэдрич. позиций и изменениями характера сочленений тетраэдров MO_4 . В γ -мо-
дификации II каждый тетраэдр NaO_4 соединен одной гранью с тетраэдром FeO_4 и наоборот. Переход $\beta \rightleftharpoons \gamma$ связан также с различным расположением слоев с оди-
наковыми катионами в гексагон. плотнейшей упаковке.

А. В. Салов

1 X /

B9 - 8570

-db

(+1)

☒

х. 1974.12

Na₂AlO₂ Anthony P. J.; et al. 1977

(9) Phys. Rev. B: Solid State
1977, 16, v8, 3827 - 28

(err. Li₂AlO₂; I)

BX-731

1978

$\text{Al}(\text{OH})_3$, NaAlO_2 , $\text{NaAlSi}_3\text{O}_8$
 $(\Delta H_f^{\circ} \text{, } \Delta f_f^{\circ})$

Hemingway B.S., Robie R.A.,
J. Res. U.S. Geol. Surv. 1977, 5(4),
413-29.

Enthalpies of formation of slow melt
aluminosilicates and...

1977

BX-1683

: Ca_2SiO_4 - NaAlO_2 (раз. гиаг.)

Корнеев В.Л., Малыц Н.С.,

Рп. Всес. х-и и проект. ин-т
алюминия, нач. и. физико-техн. к-ра
1977, (97), 12-17.

Фазовое соотношение не в сиске!!!

C.A.1978, 89, N24, 204920X

А1

NaAlO_2

1977

$\text{Na}_2\text{O} \cdot \text{HAl}_2\text{O}_3$

pazob.
nreffaus.

87: 91477w Study of phase transformations in the sodium fluoride-aluminum oxide section of the $6\text{NaF} + \text{Al}_2\text{O}_3 \rightleftharpoons 2\text{AlF}_3 + 3\text{Na}_2\text{O}$ system. Pavlikov, V. N.; Artemov, V. A. (USSR). *Zh. Neorg. Khim.* 1977, 22(7), 1943-7 (Russ). Phase relations were studied in the $\text{NaF}-\text{Al}_2\text{O}_3$ section of the title system by petrog., x-ray phase anal., and DTA methods at $700-1600^\circ$ and ≤ 50 mol % Al_2O_3 . Regions of existence of NaAlO_2 and $\text{Na}_2\text{O} \cdot 11\text{Al}_2\text{O}_3$ ($\text{Na}\beta$ -alumina) were established.

C.A. 1977. 87 w12

Na_2CO_3 , K_2CO_3 , Na_2O , K_2O 1978

NaAlO_2 , KAlO_2 (ΔH_{m}) KAlO_2 (ΔH_f)

Зыган В.Н., Кесслер Я.Я., $B\bar{X}-1524$

Гордеев И.В., Третьяков Ю.Д.

Узб АН СССР. Неорганические материалы, 1978, 14,
N 6, 1087-1089.

Термокалибр растворимых оксидных фаз,
содержащих циркониевые частицы

РЖХим. 1978

20Б831

M (cp)

Уфоз.03

NaAlO2

[Ommuck 15877]

1981

Schumm R.H.,

Cp,
m. q. NBS IR 81-2343, May, 1981.

Thermodynamic Properties of
Solid Alkali Aluminosilicates,

ТС8338⁶68

СТАТЬЯ

АНГ

РОГ Г., KOZLOWSKA-ROG А.

ТФЦ

ТЕРМОДИНАМИЧЕСКИЕ СВОЙСТВА ПОЛИАЛЮ
МИНАТОВ НАТРИЯ

THERMODYNAMIC PROPERTIES OF SODIUM
POLYALUMINATES

SOLID STATE IONICS, Т 7, 4, 291-29
4, 1982

ЭКСПЕРИМЕНТАЛЬНО НАЙДЕНЫ СТАНДАРТНЫЕ ИЗОБАРНОИЗОТЕРМИЧЕСКИЕ ПОТЕНЦИАЛЫ ОБРАЗОВАНИЯ ТВЕРДОГО $NaAl_11O_{17}$ И $NaAl_5O_8$. КАЛОРИЧЕСКИЕ СВОЙСТВА В ТЕМПЕРАТУРЫ 1000 °C: $NaAl_11O_{17}$ 37000; 25080 ; 3360; 1012503 БО.

Na-aluminosilicate

1983

99: 11843x Thermodynamic properties of solid alkali aluminosilicates at elevated temperatures. Schumm, R. H. (Natl. Bur. Stand., Washington, DC USA). Report 1981, DOE/METC-82-55; Order 49 pp. (Eng). Avail. NTIS. From Energy Res. Abstr. 1983, 8(5), Abstr. No. 10406. Selected heat capacities, entropies, enthalpies, std. heats of formation, std. free energies of formation and the equil. formation consts. for solid Na aluminato, solid K aluminate, and solid aluminosilicates of Li, Na, and K are given (13 pure compds. and their polymorphs; 4 mixts., each in low- and high-temp. configurations) at 298-2000 K.

G_f , S_f , $D_f H_f$,
 $D_f f_f$;

(F4) 18

C.A. 1983, 89, N2

Na AlD₂

[DM. 21695]

1984

Florop H.D., Суроиевский
10. st.,

Ученые записки, 1984, 53,
вып. 9, 1425-1462.

стол.

NaAlO₂

1984

20 Б3077. Состав и строение алюминатов натрия в нефелиновых спеках. Цеховольская Д. И., Меренкова Б. М., Коренько Л. А. «Изв. АН СССР. Неорганические материалы»; 1984, 20, № 5, 857—859

С помощью метода ИК-спектроскопии установлено, что алюминат натрия в нефелиновом спеке находится в двух модификациях: низкотройной — $\beta\text{-NaAlO}_2$ и высокотройной — $\gamma\text{-NaAlO}_2$. Получен искусственный спек, имитирующий по составу и строению производственный. Установлено, что в нефелиновом спеке присутствуют высокоглиноземистая фаза типа пентаалюмината натрия.

Автореферат

полиморфизм

X. 1984, 19, № 20

NaAlO_2 Торгелб. У. Б.,
Зорзан Б. Н., и др.
1986

Все выше несомненно
на основе соч.

ΔH_f ; Керхер. Свердловск,
1986, 48-54.

(если $\bullet \text{Na}_2\text{CO}_3$; Σ)

Na-Aerosilteam

1988

Berberri V., Flor G.,
et al.

14; J. Therm. Anal., 1988,

39, N^o 457 - 464.

(See. Li-Aerosilteam; ?)

NaAlB_2 1988
Jaworska T., Szytula A.,
et al.,

структура Z. Kristallogr. 1988,
185, N1-4, 539.

X. 1989, N24, 24 52059

1988

NaAlO₂

16 Б3019. Теплоемкость твердых растворов на основе моноалюмината и моноферрита натрия. Шехтман Г. Ш., Бурмакин Е. И. «Высокотемператур. химия силикатов и оксидов. Тез. докл. 6 Всес. совещ., Ленинград, 19—21 апр., 1988». Л., 1988, 432—433

В интервале т-р 250—800°С измерены теплоемкости NaAlO₂ (**I**), NaFeO₂ (**II**) и тв. р-ров $1,5\text{Al}_2\text{O}_3 \cdot 0,25\text{TiO}_2 \cdot 2\text{Na}_2\text{O}$ (**III**), $\text{Al}_2\text{O}_3 \cdot 0,57\text{TiO}_2 \cdot \text{Na}_2\text{O}$ (**IV**), $1,5\text{Al}_2\text{O}_3 \cdot \text{TiO}_2 \cdot 2\text{Na}_2\text{O}$ (**V**) и $\text{Fe}_2\text{O}_3 \cdot 0,75\text{TiO}_2 \cdot \text{Na}_2\text{O}$ (**VI**). Результаты представлены графически. Образцы **I** и **III** при комн. т-ре имеют структуру низкот-рной β -формы, **IV**—высокот-рной γ -формы, **V**—представляет собой сверхструктурную на основе γ -**I** (*T*-фаза). Теплоемкость **I** и **III** выше $\beta \rightarrow \gamma$ -перехода не зависит от т-ры, а **IV**—**VI**—постоянны во всем исследованном интервале т-р. Эта т-рная независимость C_p свидетельствует о разупорядоченной структуре. Поскольку электропроводность тв. р-ров очень высока и носит Na^+ -катионный характер, сделан вывод о разупорядочении именно нат-

(4)

X. 1988, 19, N 16

риевой подрешетки. Отмечено, что это разупорядочение свойственно именно γ -I, а не определяется введением TiO_2 . В системах с Fe_2O_3 область тв. γ -р-ров отсутствует. Тв. электролиты в этой системе имеют орторомбич. структуру β -II или гексагон. низкот-рную структуру α -II с более низкой энергией активации проводимости и более высокими значениями электропроводности в низкот-рной области. Разупорядоченность VI объясняет его большую проводимость, чем II, где C_p постоянно растет с ростом температуры.

А. С. Гузей

Na Al₂O₃

1990

✓ 113: 219110w Critical review of the thermodynamics of the sodium-aluminum-oxygen system. Barsoum, M. (Dep. Mater. Eng., Drexel Univ., Philadelphia, PA 19104 USA). *J. Mater. Sci.* 1990, 25(10), 4393-400 (Eng). The free energies of formation of various phases in the Al-Na-O systems were crit. examd., for the compn. range between pure alumina and sodium aluminate. The results indicate that at 600-1100 K neither β -alumina nor β'' -alumina are stable with respect to Na. The most stable phase in that range is sodium aluminate.

(167)

C.A. 1990, 113, N 24

1990

Na-Al₂O₃

14 Б3020. Критический обзор термодинамических свойств (фаз) в системе Na—Al—O. Critical review of the thermodynamics of the Na—Al—O system / Barsum M. // J. Mater. Sci.— 1990.— 25, № 10.— С. 4393—4400.— Англ.

Проведен крит. анализ термодинамич. данных нек-рых фаз в системе Na—Al—O в обл. составов от Al₂O₃ до NaAlO₂. Установлено, что термодинамически стабильной фазой в интервале 600—1100 К является NaAlO₂ (I), а не β -глинозем Na₂O·11Al₂O₃ или β'' -глинозем Na₂O·5Al₂O₃. Рекомендовано ур-ние $\Delta_f G$ (из оксидов β -глинозема) = $-8772 + 1,53 T$ Дж/моль О (600—1200 К). Расчеты $\Delta_f G$ нормированы к 1 молю О (Дж/моль О). Из элементов $\Delta_f G$ (Na_{1/17}Al_{11/17}O) = $-565\ 100 + 109,6 T$, если состав Na₂O·11Al₂O₃ и $\Delta_f G$ (Na_{1/14}Al_{9/14}O) = $= -564\ 000 + 109,6 T$, если состав Na₂O·9Al₂O₃. «Наи-

16-7-

x. 1991, N 14

лучшая» оценка $\Delta_f G$ (β'' -глинозема) = $-567\ 860 + 114 T$
Дж/моль О для состава $Na_{1/8}Al_{5/8}O$ в интервале 600—
1200 К. На основании расчетов можно заключить, что
 β'' -глинозем устойчив при $T < 900$ К, а выше этой температуры
распадается на $NaAlO_2$ и β -глинозем. Однако, фактически
 β'' -глинозем устойчив выше 900 К, что указывает
на необходимость переопределения $\Delta_f G$ этой фазы.
Библ. 26.

Резюме

NaAlO₂

1991

22 Б3026. Потенциометрическое определение активностей в двухфазных полях системы $\text{Na}_2\text{O}-\alpha\text{-Al}_2\text{O}_3$. Potentiometric determination of activities in the two-phase fields of the system $\text{Na}_2\text{O}-(\alpha)\text{Al}_2\text{O}_3$ / Jacob K. T., Swaminathan K., Sreedharam O. M. // Electrochim. acta.—1991.—36, № 5—6.—С. 791—798.—Англ.

ЭДС, кр, дж

В псевдобинарной системе $\text{Na}_2\text{O}-\alpha\text{-Al}_2\text{O}_3$ в обл. т-р 825—1400 К стабильны 3 соединения: две нестехиометрич. фазы β -глинозем (I) и β'' -глинозем (II), а также NaAlO_2 (III). При 1173 К обл. гомогенности I простирется от 9,5 до 11 мол. % Na_2O , II — от 13,3 до 15,9 мол. % Na_2O . Состав III в равновесии с II почти стехиометричен. Активность Na_2O в двухфазным обл. определена методом э. д. с. с тв. электролитом. Поскольку I и II являются чисто ионными проводниками, то для электрохим. измерений использовались двухфазные тв. электролиты (ТЭ). В интервале т-р 790—980 К измерены э. д. с. ячеек с открытым циклом: Pt, Ir, Pb— Na ($x_{\text{Na}}=0,0208$)/ТЭ/Fe+«FeO», Pt, где в кач-ве ТЭ

X. 1991, № 22

использованы $\alpha\text{-Al}_2\text{O}_3 + \text{I}$; $\text{I} + \text{II}$ и $\text{II} + \text{III}$. Парц. энергии Гиббса Na_2O в двухфазных обл. выражены ур-ниями $\Delta_f G_{\text{Na}_2\text{O}} = -A + BT$ Дж/моль с коэф. A и B , равными 270900 и 24,03 для $\alpha\text{-Al}_2\text{O}_3 + \text{I}$; 232700 и 56,19 для $\text{I} + \text{II}$ и 131 000 и 4,51 для $\text{II} + \text{III}$. Аналогичные ячейки с Э из $\text{Au}-\text{Na}$ и смеси $\text{Co} + \text{CoAl}_{2+2x}\text{O}_{4+3x} + \alpha = \text{Al}_2\text{O}_3$, исследованные при 1400 К, дали согласованные результаты. Для обл. 1000—1200 К построены т-рые зависимости давл. пара Na в двухфазных обл. Выше 1688 К для обл. $\text{I} + \text{II}$ давл. пара Na выше, чем для обл. $\text{II} + \text{III}$. Этим подтверждается нестабильность II выше этой т-ры в бинарной системе $\text{Na}_2\text{O}-\alpha\text{-Al}_2\text{O}_3$. Если бы фаза II была стабильна, то активность Na_2O и последовательно парц. давл. Na при фиксированном кислородном ПТ возрастали бы с ростом конц-ии Na_2O в конденсированной фазе. Парц. давл. Na обратно пропорциональны $p\text{O}_2$, поэтому неск. большие потери Na будут происходить при изготовлении и использовании тв. электролитов в атмосфере с низким кислородным ПТ. В координатах $\lg p\text{O}_2 - n_{\text{Na}}/(n_{\text{Na}} + n_{\text{Al}})$ построена фазовая диаграмма системы $\text{Na}-\text{Al}-\text{O}$ при 1173 К.

А. С. Гузей

Na_5AlD_4 .

1991

Na AlD_2

$\text{Na Al}_5\text{O}_8$

$\text{Na Al}_{11}\text{O}_{17}$

116: 92584h Determination of the standard free enthalpies of formation of sodium aluminates. Reg. Grzegorz; Kozlowska-Reg. Anna; Zakula, Krzysztof (Inst. Mater. Sci., Univ. Min. Met., 30069 Krakow, Pol.). *Pol. J. Chem.* 1991, 65(4), 631-5 (Eng.). The std. free energies of NaAlO_4 , NaAlO_2 , NaAl_5O_8 and $\text{NaAl}_{11}\text{O}_{17}$ were detd. by using solid galvanic cells at 1000, 1100 and 1200 K, resp. Sodium zirconium silico-phosphate, $\text{Na}_2\text{Zr}_2\text{Si}_2\text{PO}_10$, served as an auxiliary electrolyte, conducting sodium ions. The results are compared with those obtained by other authors.

$\Delta_f G_j$

C. A. 1992, 116, N 10

NaAl₂

IM 36033 1991

8 Б3029. Определение стандартных свободных энергий образования алюминатов натрия. Determination of the standard free enthalpies of formation of sodium aluminates / Róg Grzegorá, Kozłowska-Róg Anna, Zakula Krzysztof // Pol. J. Chem.— 1991.— 65, 4.— С. 631—635.— Англ.; рез. пол.

В тройной системе $\text{Na}_2\text{O}-\text{Al}_2\text{O}_3$ известны 4 алюмината: Na_5AlO_4 (I), NaAlO_2 (II), NaAl_5O_8 (III) и $\text{NaAl}_{11}\text{O}_{17}$ (IV). Особый интерес представляют алюминаты III и IV, обычно называемые β -глиноземом и β'' -глиноземом соотв. Они образуют слоистые структуры, в к-рых шпинельные блоки из ионов Al^{3+} и O^{2-} разделены свободно упакованными плоскостями, содержащими ионы Na^+ и O^{2-} . Движение мобильных ионов в этих плоскостях обеспечивает двумерную почти чисто ионную проводимость. Указанные глиноземы отнесены к суперионным проводникам. Эти св-ва позволяют их использовать в кач-ве мембран в батареях натрий—серебра и в кач-ве тв. электролитов в электрохим. сенсорах на SO_x ($x=2, 3$) в смесях горячих газов. Вследствие высокой коррозионной способности указанных сред,

(16)

X. 1992, N 8

для практического использования необходимы сведения о стабильности III и IV. Свободные энергии образования I—IV при 1000, 1100 и 1200 К определены методом э. д. с. с тв. электролитом. В кач-ве последнего использован силикофосфат натрия—циркония номинального состава $\text{Na}_3\text{Zr}_2\text{Si}_2\text{PO}_{12}$, считающийся наиболее эффективным чисто Na^+ -ионным проводником и использующийся под названием Nasicon (Natrium Superionic Conductor). Значения ΔG° образования из окислов при 1000 и 1200 К составили соотв.: I 90,22 и 86,72; II 81,12 и 80,28; III 114,15 и 111,87; IV 138,43 и 133,24 кДж/моль; погрешность $\sim 1,5$ кДж/моль.

А. С. Гузей

ВИО.
бина
з. в

Na₅AlO₄
NaAlO₂
u sp.

OM: 36970, a"

1992

Rog F., Kozłowska - Łęg A.,
Łakela K.,

I_f f;
J. Chem. Thermodyn., 1992,
24, 41-44.

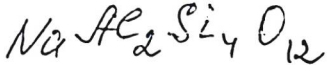
Na₂AlD₂

1994

Finnie K.S., Thompson
J.G. et al.

(T_{tr}) J. Phys. and Chem. Solids.
1994. 55, N.I.C. 23-29.

(c.c. SiO₂; I)



2001

F:Na[1.39]K[0.01]Ca[0.21]Fe[0.01]Al[1.83]Si[4.17]O[12]*5

.87H₂O

P: 1

Na Al₂Si₄O₁₂ (g, 5 - 302 K)

03.09-19Б3.28. Термодинамические свойства природного цеолита гмелинита пр низких температурах. Thermodynamic properties of the natural zeolite gmel at low temperatures / Paukov I. E., Belitsky I. A., Kovalevskaya Y. A. // Chem. Thermodyn. - 2001. - 33, N 12. - С. 1687-1696. - Англ.

Теплоемкость природного цеолита гмелинита Na[1,39]K[0,01]Ca[0,21]Fe[0,01]Al[1,83]Si[4,17]O[12]*5,87H₂O исследован температурах от 5,8 до 302,2 К в калориметре с небольшим внутренним объемом. Приведены экспериментальные данные по молярной теплоемкости C[p,m] гмелин вместе с молярными термодинамическими функциями в интервале температур 5,8-302,2 К. Аномальное поведение C[p,m] найдено при температуре выше 160. Предполагается, что дополнительный вклад в теплоемкость является результатом разупорядочения в подсистеме гмелинита. Библ. 15.